

쥐의 폐에서 방사선이 Nitric Oxide (NO), Nitric Oxide Synthase (NOS) 및 TGF- β 의 발현에 미치는 영향

아주대학교 의과대학 치료방사선과학교실*, 호흡기내과학교실†, 의과학연구소‡,
을지의과대학 치료방사선과학교실§

오영택* · 박광주† · 길훈종* · 하만준‡ · 전미선* · 강승희* · 박성은‡ · 장세경§

목 적 : 방사선페렴에서 NO가 염증반응을 매개하는 물질로 보고되고 있는데, 이때 유도형의 Nitric Oxide Synthase 2 (NOS2) 가 주로 Nitric Oxide (NO) 생성에 관여하는 것으로 알려져 있다. 이 NOS2의 억제조절물질로 TGF- β 가 알려져 있으며, 최근에는 NO가 증가하면 TGF- β 의 활성이 증가하고 그에 따라 NOS2가 억제되어 NO의 생성이 억제되는 간접기전(feedback mechanism)이 보고되어 있다. In vivo 동물모델에서 방사선조사 후에 NOS2 발현 및 NO 생성의 변화를 측정하고, 그에 따라 TGF- β 가 어떻게 변하는지를 관찰하고자 본 연구를 진행하였다.

대상 및 방법 : Sprague-Dawley 쥐 60마리를 마취 후 5 Gy와 20 Gy의 방사선을 우측 폐에 조사하고 대조군은 위 조사를 시행하였다. 방사선조사 후 3일, 7일, 14일, 28일, 56일에 방사선 조사군(5 Gy, 20 Gy) 각 5마리와 대조군 2 마리를 희생시키고, 희생시키기 전에 우측 폐와 좌측 폐의 주기관지에서 각각 폐포 세척을 시행하여 폐포 세척액을 얻었다. 폐포 세척액에서 단백질과 세포 수를 측정한 후 원심 분리하여 상층액은 NO와 TGF- β 단백의 양을 측정하는데, 가라앉은 폐포 대식세포는 TGF- β 와 NOS2 mRNA의 RT-PCR을 위한 검체로 사용하였다.

결 과 : 방사선조사 후 5 Gy군에서는 NOS2 mRNA가 14일 째에 우측 폐에서 발현하였고, 28일 째에는 양쪽 폐에서, 56일 째에는 좌측 폐에서 증가하였다. TGF- β mRNA는 계속 발현되었으나 28일 째에 발현이 감소하는 양상이었고 56일에는 좌측 폐에서 증가하였다. 폐포세척액내의 NO는 28일 째 증가하였고, TGF-beta 단백의 양이 56일 째 좌측 폐에서 증가하였다. 20 Gy 군에서는 NOS2 mRNA는 5 Gy와 마찬가지로 14일주 째에 우측 폐에서 발현하여 28일주 째에 양쪽 폐에서 발현하고 56일 째에 양쪽 폐에서 강하게 발현하였다. TGF- β mRNA는 28일 째에 우측 폐에서 56일 째에 양측 폐에서 증가하였다. 폐포 세척액 내의 NO의 양은 28일 째에 양쪽 폐에서 증가하였고, TGF- β 단백의 양은 우측 폐에서 28일 째 정점을 이루고, 56일 째에 좌측 폐에 비해 유의한 증가 양상을 보여주었다.

결 론 : 방사선페렴의 동물모델에서 NO, NOS2 와 TGF- β 는 선량에 따라 약간의 차이가 있었지만 14일 째 우측 폐에서의 NOS2 mRNA의 발현을 시작으로 비교적 일관된 발현 양상을 보여 주었고 그에 따라 폐포세척액 내의 NO 및 TGF- β 단백의 양이 변하였다. 그러나 예상과는 달리 56일 째에는 NOS2와 TGF- β 가 모두 발현하여, 좀 더 많은 개체 수를 대상으로 장기간을 통해 발현 양상을 관찰할 필요성이 있으며, 이 연구를 바탕으로 NOS2 억제제를 사용하여 TGF- β 의 발현 양상에 어떤 변화가 오는지에 대한 연구가 필요하다고 평가되었다.

핵심용어 : 방사선페렴, Nitric Oxide, Nitric Oxide Synthase 2, TGF- β , 방사선

서 론

일반적으로 종양의 치료에 사용되는 비교적 고선량의 방사선에 대한 정상조직의 반응은 그 관점에 따라 여러 가지

본 연구는 학술진흥재단 2000년도 신진교수 연구비의 지원을 받았음.

이 논문은 2000년 8월 30일 접수하여 2000년 11월 30일 채택 되었음.

책임 저자: 오영택, 아주대학교병원 치료방사선과

Tel: 031)219-5338, Fax: 031)219-5894
E-mail: ohyoung@madang.ajou.ac.kr

가 있을 수 있으나 그 중 방사선에 의한 염증 및 섬유화에 의한 각종 증후군의 발생은 방사선에 의한 이차암의 발생과 더불어 방사선의 의학적인 이용이라는 측면에서 가장 중요하다고 할 수 있다.

인체조직이 방사선에 노출되어 조직손상이 발생하게 되면 대식세포나 단핵세포 및 혈소판 등이 활성화되고, 활성화된 이들 세포로부터 여러 가지 세포활성물질(cytokine)이나 성장인자(growth factor)들이 분비되어 국소적인 염증반응을 유도하고, 염증과정에서 분비된 세포활성물질 및 성장인자들이 섬유아세포를 자극하면 섬유아세포들이 결집하고(recruitment),

성장하여(proliferation) 세포와 기질(extra-cellular matrix)의 생성을 촉진하게 되며 동시에 세포와 기질의 분해(degradation of extra-cellular matrix)는 감소하게 되는데 이러한 과정이 궁극적으로는 조직의 섬유화를 일으킨다고 할 수 있다. 이처럼 방사선에 의한 정상조직의 염증 및 섬유화 과정은 그 형태 학적인 요인, 병리학적인 소견, 임상적인 경과 등에 대해서 비교적 널리 알려져 있으며, 이와 같은 염증 및 섬유화 과정은 인체내 대부분의 주요장기에서 유사한 양상으로 나타내며, 염증 및 섬유화를 동반하는 일반적인 다른 여러 임상증후군과도 그 원인만 다를 뿐이지 대체적으로 공통적인 질병 경과를 나타낸다.^{1, 2)} 또한 아직까지 명확한 기전들이 다 밝혀져 있지는 않지만 그 분자생물학적인 기전도 근본적으로는 다르지 않을 것으로 추정하고 있다.¹⁾ 인체 정상조직에서 방사선조사 후에 염증 및 섬유화 반응을 동반하는 임상적인 증후군들을 살펴보면 선량이 증가함에 따라 염증반응이 발생하고, 어느 한계선량을 넘어서면 염증반응이 우세한 가역적인 상태에서 비가역적인 섬유화로 진행하는 것을 알 수 있다. 대표적으로 폐암에서 방사선치료를 받는 경우 방사선조사 후 약 1개월에서 6개월 사이에 방사선페렴이 발생하고, 그 후에 일부에서 폐의 섬유화가 진행되는 것으로 알려져 있다. 이처럼 폐의 섬유화가 진행하는 과정에 관여하는 가장 중요한 세포활성물질이 TGF- β 이며, 방사선이 아닌 다른 원인에 의한 폐의 섬유화에서 뿐만 아니라, 폐가 아닌 다른 장기에서 발생하는 섬유화를 동반하는 임상증후군에서도 그 발현이 보고되고 있어, 전체적으로 섬유화의 과정에 관여하는 가장 중요한 인자로 알려져 있다.³⁾

최근 과거에는 단순한 공기오염물질에 불과했던 NO (Nitric Oxide)가 인체 내에서 여러 가지 역할을 담당하고 있는 것으로 알려져 있는데, 그 중에 한가지가 염증반응을 매개하는 기능이다.⁴⁾ 일반적으로 방사선이 조사되면 NO가 증가하게 되는데 방사선페렴에서도 이 NO가 염증반응을 매개하는 물질로 최근에 보고되었다.⁵⁾ 이 NO를 생성하는 효소가 NOS (Nitric Oxide Synthase)로 3가지 동위효소가 있는데 유동형(inducible form)의 iNOS 즉 NOS2가 주로 관여한다. 이 NOS2의 대표적인 억제조절물질이 TGF- β 이며, 최근에는 NO가 증가하면 비활성형(latent form)의 TGF- β 에서 활성형(active form)의 TGF- β 로의 변환이 증가하고 그에 따라 NOS2가 억제되어 NO의 생성이 억제되는 억제간섭(negative feedback) 기전이 보고되어 있다.⁶⁾

TGF- β 를 섬유화가 동반되는 임상 증후군의 치료목표로 하는 것이 가장 효과적일 것으로 생각되지만, TGF- β 가 워낙 다양한 기능을 수행하고 있을 뿐만 아니라, 종양억제유전자

의 역할을 담당하고 있음을 고려할 때, 현실적으로 아직까지는 불가능하다고 할 수 있다. 따라서 만약 이 가설대로 NO를 경유하는 경로가 실제 in vivo에서도 작용하고, TGF- β 발현의 조절에 중요한 역할을 한다면, NOS2와 NO생성의 경로를 조절하는 것이 섬유화를 억제하는 치료방법일 가능성성이 높다. 따라서 in vivo 동물모델에서 방사선조사 후에 NOS2 및 NO의 발현 및 생성의 변화를 측정하고, 그에 따라 TGF- β 가 어떻게 변하는지를 관찰하여 이 가설이 실제로 작용하는지를 규명하는 것이 필요하다.

따라서 본 연구자는 in vivo 동물모델에서 방사선에 의한 NOS2의 발현과 NO의 생성을 측정하고, NO 생성의 변화에 따른 TGF- β 의 발현의 변화를 관찰하여, 방사선이 NOS2와 NO, TGF- β 의 발현 및 상호관계에 미치는 영향을 규명하고자 본 연구를 시행하였다.

대상 및 방법

1. 실험동물 및 방사선조사

실험동물은 Sprague-Dawley rats 60마리로 pentotal sodium (40 mg/kg)을 복강 내로 주입하여 마취하였다. 마취 후 5 Gy 와 20 Gy의 방사선을 우측 폐에만 조사하였고, 이때 반대편 좌측 폐는 3 mm의 납으로 표면을 차폐하여 산란선에 의한 방사선조사를 차단하고, 방사선이 조사되는 우측 폐는 선량의 균등한 조사를 위해서 조직등가물질로 표면을 덮어 주었다. 대조군은 위 조사를 시행하였다. 방사선조사 후 3일, 7일, 14일, 28일, 56일에 방사선 조사군(5 Gy, 20 Gy)과 대조군을 과용량의 pentotal sodium으로 희생시켰으며, 이 때 방사선조사군은 각각 5마리, 대조군은 2마리에서 시행하였다.

2. 폐포 세척(Bronchoalveolar Lavage : BAL) 및 검체 준비

정중앙 절개로 쥐의 기관 및 폐를 박리하고 폐포 세척관을 이용하여 우측 폐와 좌측폐의 주기관지를 대상으로 각각 폐포 세척을 시행하였다. 폐포 세척은 2 cc의 PBS로 5회 반복 시행하였고, 세척액에 대한 세포성상 관찰 및 단백질 양을 측정하여 폐포 세척이 제대로 이루어지지 않은 검체는 연구에서 제외하였다. 폐포 세척액은 원심 분리하여 상층액은 NO 및 TGF- β 1 단백의 양을 측정하는데 사용하였고, 가라앉은 폐포 내 세포는 PBS로 세척한 후 TGF- β 1 및 NOS2 mRNA의 RT-PCR을 위해 -70도에 냉동시켰다.

3. 폐포 세척액에서 TGF- β 1 단백의 측정

폐포 세척액을 원심 분리한 후 따로 모은 상층액의 일정량을 대상으로 TGF- β 1 ELISA kit (R&D System, Minneapolis,

MN)로 설명서에서 권고하는 대로 폐포 세척액내 TGF- β 1의 양을 측정하였다.

4. Nitrite/Nitrate 농도측정

Nitrite/Nitrate 농도는 Griess 법으로 측정하였다.⁷⁾ 상층액 내에 들어 있는 단백질의 양을 정량한 후 샘플과 표준용액 (standard solution: 1M sodium nitrite 69,000 $\mu\text{g}/\text{ml}$ in water)을 50~100 $\mu\text{l}/\text{well}$ 씩 넣어 주었다. 동량의 sulfanilamide solution (1% sulfanilamide solution in 5% phosphoric acid)을 각각의 용기기에 넣고 5분간 방치한 후 동량의 NED solution (0.1% N-1-naphylethlydiamine dihydrochloride in water)을 넣고 다시 5분간 방치한 후 ELISA reader를 사용하여 540 nm에서 판독하여 측정하였다. Nitrate는 nitrate reductase를 사용하여 nitrite로 enzymatic conversion을 시킨 후 동일한 방법으로 측정하였다.

5. RNA 추출, cDNA 합성 및 RT-PCR

냉동하였던 폐포 내 세포로부터 RNA 분리는 RNazol B를 사용하여 분리한 후 diethyl pyrocarbonate로 처리된 증류수에 녹인 후 자외선 분광비색계로 농도 및 순도를 측정한 후 사용하였다. cDNA합성은 분리된 RNA 2 μg 을 oligo dT (16 mer)를 사용하여 40 μl 용량으로 역전사(reverse transcription)를 시행하였다. 반응혼합액의 조성은 RNA 2 μg , 5 mM MgCl₂, 50 mM KCl, 10 mM Tris-HCl (pH 8.3), 1 mM dATP, 1 mM dTTP, 1 mM dCTP, 1 mM dGTP, 1 U/ μl RNase 억제제 (Perkin-Elmer제품), 2.5 U/ μl MuLV 역전사 효소(Perkin-Elmer 제품), 2.5 μM oligo dT (16 mer)로, 반응 조건은 42°C 1시간, 99°C 5분, 5°C 5분으로 하였다. PCR은 10X 반응 완충액(15 mM MgCl₂, 100 mM Tris-HCl pH 8.3, 500 mM KCl) 5 μl 와

10 mM dATP, dTTP, dCTP, dGTP 각 1 μl 씩, 그리고 30 μM sense 및 antisense primer를 각각 1 μl 를 넣은 혼합물에 1 μl 의 반응시킨 cDNA 반응 혼합액과 2.5 단위의 Taq 중합효소 (Perkin-Elmer제품)를 넣은 후 증류수로 50 μl 로 용량을 맞추고 30 μl 의 mineral oil을 중층한 후 DNA thermal cycler (Perkin-Elmer제품)를 사용하여 PCR을 시행하였다. 증폭된 PCR 산물 10 μl 를 1% agarose gel에 전기영동하여 확인하였다. NOS2의 RT-PCR에 사용된 primer의 염기서열은 upstream primer로 5'-AGA TGG ATC AAG TGG ACA TC-3'를 down stream primer로 5'-CAT GTT CTC CGG TTT CCA T-3'를 사용하였고, TGF- β 는 5'-TGG ACC GCA ACA ACG CCA TCT ATG AGA AAA CC-3'과 5'-TGG AGC TGA AGC AAT AGT TGG TAT CCA GGG CT-3'을 사용하였다.

6. 통계처리

실험으로부터 얻어진 자료는 평균값(mean \pm 1 standard deviation)으로 나타내고 통계적인 유의성 검증은 Student's t-test 와 χ^2 test로 하였으며 p 값이 0.05이하인 경우를 유의하게 판정하였다.

결 과

폐포 세척액에서 방사선이 조사된 우측 폐에서 단백질이 증가하는 양상을 보여주었으며, 5 Gy군에서는 방사선 조사 후 56일 째에, 20 Gy군에서는 28일 째부터 유의하게 증가하는 양상을 보여주었다(Fig. 1). 또한 폐포 세척액내의 세포의 수는 양쪽 폐에서 모두 56일 째에 유의하게 증가하였으며, 그 값은 방사선이 조사된 우측 폐에서 방사선이 조사되지 않은 좌측 폐에 비해 유의하게 높았다(Fig. 2). 폐포 세척액

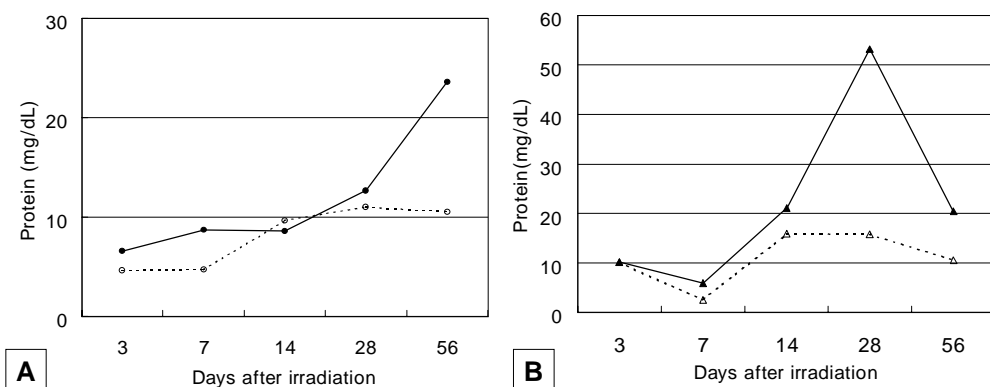


Fig. 1. Measurement of total protein in BAL fluid after irradiation. A) 5 Gy of irradiation on right lung, B) 20 Gy of irradiation on right lung

오영택 외 7인: 방사선에 의한 NO, NOS2 및 TGF- β 의 발현

내에서의 단백질의 양의 증가와 세포 수의 증가는 모두 5 Gy군보다 20 Gy군에서 현저하게 높았다.

폐포 세척액에서 NO의 양은 28일 째에 5 Gy와 20 Gy군의 좌우 폐 모두에서 4주 째에 정점을 이루며 유의하게 증가하였다(Fig. 3, Table 1).

또한 세척액 내의 TGF- β 1 단백의 양은 5 Gy군에서는 56

일 째에 방사선이 조사되지 않은 좌측 폐에서 우측 폐에 비해 증가하는 양상을 보였지만 통계적인 유의성은 없었고, 20 Gy군에서는 28일 후부터 정점을 이루며 증가하는 양상을 보였으며, 56일 째에는 그 증가폭은 감소하였으나 우측 폐의 증가가 좌측 폐에 비해 통계적으로 유의하였다(Fig. 4, Table 2).

폐포 내 세포에서의 NOS2 mRNA의 발현은 방사선조사

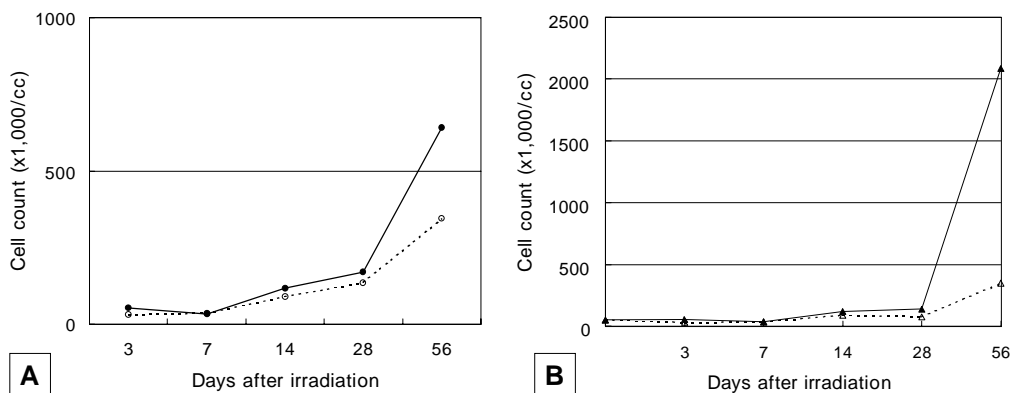


Fig. 2. Measurement of total cell count in BAL fluid after irradiation. A) 5 Gy of irradiation on right lung, B) 20 Gy of irradiation on right lung

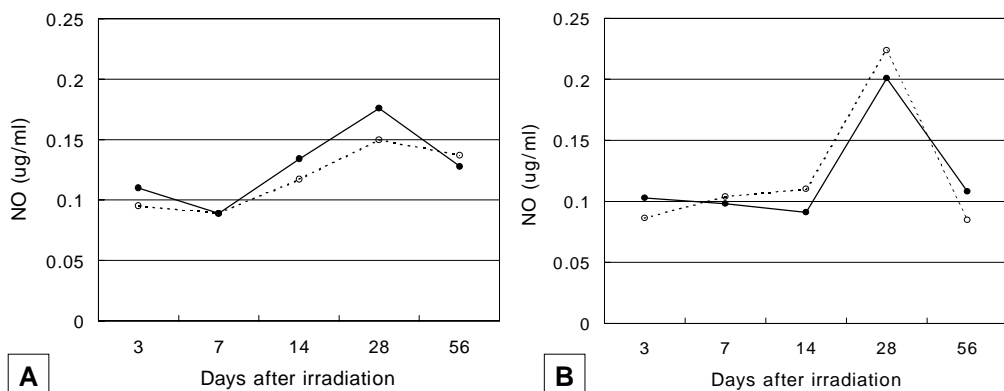


Fig. 3. Measurement of NO in BAL fluid after irradiation. A) 5 Gy of irradiation on right lung, B) 20 Gy of irradiation on right lung

Table 1. Measurement of Nitric Oxide in BAL (Broncho-Alveolar lavage) Fluid

	5 Gy of Radiation		20 Gy of Radiation	
	Right Lung (Mean±SD)	Left Lung (Mean±SD)	Right Lung (Mean±SD)	Left Lung (Mean±SD)
3 days after	0.095±0.025	0.110±0.022	0.103±0.075	0.086±0.024
7 days after	0.090±0.011	0.089±0.018	0.098±0.020	0.104±0.028
14 days after	0.117±0.026	0.134±0.014	0.091±0.017	0.110±0.029
28 days after	0.150±0.030	0.176±0.031	0.201±0.077	0.224±0.074
56 days after	0.137±0.051	0.128±0.051	0.108±0.008	0.085±0.010

The right lung is irradiated side

Table 2. Measurement of TGF- β 1 Protein in BAL (Broncho- Alveolar Lavage) Fluid

	5 Gy of radiation		20 Gy of radiation	
	Right Lung (Mean \pm SD)	Left Lung (Mean \pm SD)	Right Lung (Mean \pm SD)	Left Lung (Mean \pm SD)
3 days after	16.8 \pm 1.8	16.5 \pm 0.6	16.9 \pm 4.3	15.3 \pm 2.1
7 days after	18.2 \pm 6.0	14.8 \pm 2.0	14.7 \pm 1.2	13.8 \pm 0.0
14 days after	15.2 \pm 3.1	17.5 \pm 5.1	15.8 \pm 2.7	14.8 \pm 2.0
28 days after	18.9 \pm 2.7	18.7 \pm 2.7	47.1 \pm 47.1	20.3 \pm 5.3
56 days after	16.8 \pm 2.7	31.6 \pm 24.6	30.4 \pm 6.7	16.8 \pm 3.5

The right lung is irradiated side

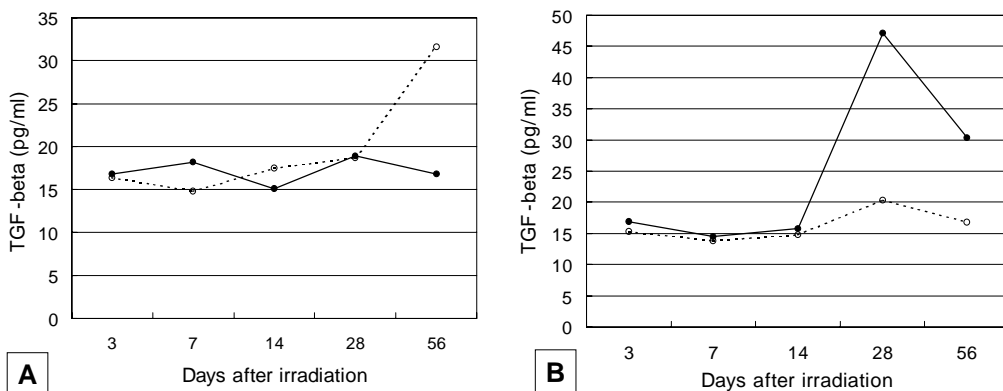


Fig. 4. Measurement of TGF- β 1 protein in BAL fluid after irradiation. A) 5 Gy of irradiation on right lung, B) 20 Gy of irradiation on right lung

후 14일 째에는 방사선이 조사된 우측 폐에서만 발현되었고, 28일 째에는 양쪽 폐에서 모두 발현되었으며 5 Gy군에서 발현이 증가된 양상이었다. 56일째에는 5 Gy군은 방사선이 조사되지 않은 좌측 폐에서 20 Gy군의 양측 폐에서 그 발현이 증가한 양상이었다(Fig. 5).

또한 TGF- β 1 mRNA의 발현은 대조군을 포함하여 선량 시기와 관계없이 계속 발현되었지만, 14일째에는 20 Gy군에서 발현이 증가하는 양상이었고, 28일 째에는 5 Gy군에서 발현이 감소하는 양상을 보여주었다. 그리고 56일째에는 5 Gy 군의 좌측 폐와 20 Gy군의 양측 폐에서 발현이 증가하는 양상을 보였다(Fig. 5).

고안 및 결론

일반적인 섬유화 과정뿐만 아니라 방사선에 의한 섬유화 과정에 관여하는 가장 강력하면서도 널리 알려진 세포활성 물질이 TGF- β 이다. TGF- β 는 여러 가지 기능을 가지고 있는 대표적인 세포활성물질(multifunctional cytokine)로서 혈소판에서 처음 분리되어 10여년 전부터 널리 알려지기 시작하

였다. TGF- β 즉 형질전환 성장인자(Transforming Growth Factor)란 명칭으로 불리어지는 이유는 TGF- β 가 정상세포를 마치 바이러스에 의해 형질 전환된 것처럼 세포를 성장시키는 현상을 발견한데서 비롯되었다. 포유동물에서 TGF- β 는 세 가지 동위효소를 가지고 있는데, TGF- β 1, TGF- β 2, 그리고 TGF- β 3로 불리며 아직까지는 그 발현양상에 어느 정도의 차이는 있으나 생물학적인 특성에 있어서 거의 동일한 것으로 알려져 있다.¹⁾ TGF- β 는 다른 성장인자를 조절하는 등의 많은 생물학적인 작용을 나타내는 것으로 알려져 있으며, 세포수준에서는 그 작용이 표적세포의 종류에 따라 좌우된다. 예를 들어 일반적으로 상피세포에 대해서는 그 성장을 억제하는 작용을 가지고 있는 반면, 섬유아세포에 대해서는 강력한 화학주성(chemotaxis)을 일으킨다. 이와 같이 화학주성을 유발하는 특성은 많은 동물모델과 인체질환에서 일어나는 섬유화의 발병과정에서 관찰되며, TGF- β 가 섬유화의 과정에서 어떠한 역할을 하고 있는지를 설명할 수 있다. 또한 방사선에 의한 섬유화 반응도 일반적인 섬유화 과정과 마찬가지로 TGF- β 에 의한 화학주성이 중요한 역할을 할 것으로 생각할 수 있으며 실제로 TGF- β 와 방사선에 의한 섬유화

오영택 외 7인: 방사선에 의한 NO, NOS2 및 TGF- β 의 발현

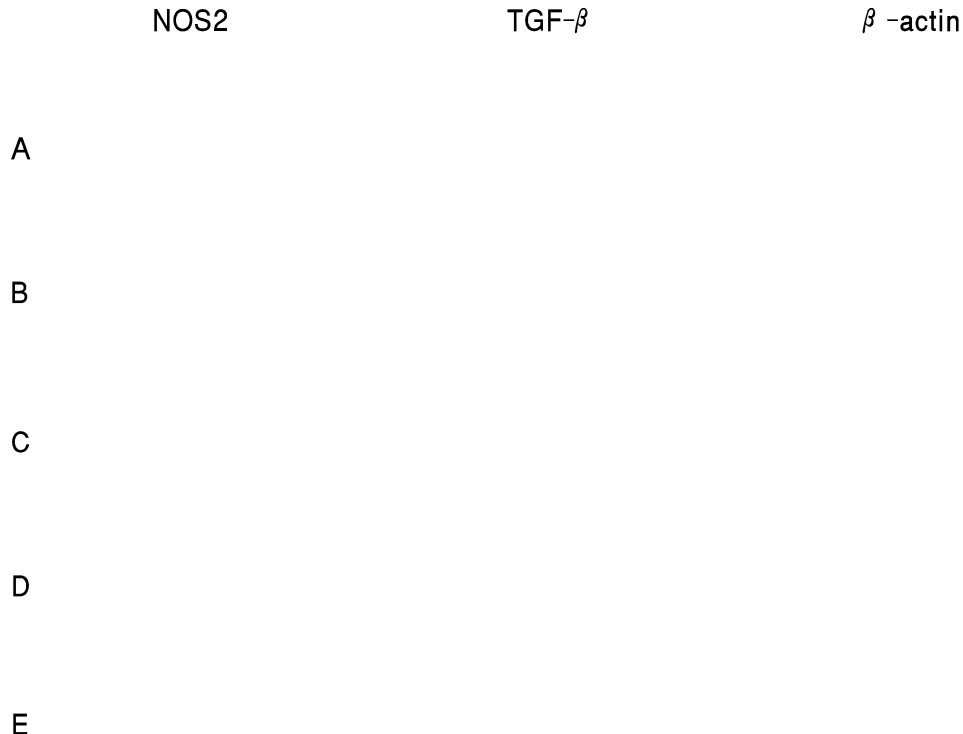


Fig. 5. NOS2 and TGF- β mRNA expression in alveolar cells. lane1: Molecular weight marker, lane2: right lung of control, lane3: left lung of control, lane4: right lung of 5 Gy group, lane5: left lung of 5Gy group, lane 6: right lung of 20Gy group, lane 7: left lung of 20Gy group. A) 3 days after irradiation, B) 7 days after irradiation, C) 14 days after irradiation D) 28 days after irradiation, E) 56 days after irradiation

과정의 연관관계를 시사하는 많은 실험결과들이 있고, 그 대상조직도 간, 근육, 피부, 장, 폐, 신장, 유선 등으로 매우 다양하다.

이러한 TGF- β 를 섬유화 과정을 동반하는 질환에서 이용하고자 하는 연구가 꾸준히 있어왔으며, 실제로 자가골수이식을 시행할 예정인 유방암환자의 혈장에서 TGF- β 의 농도를 측정하였더니 그 측정치가 자가골수이식후의 간의 정맥 협착질환과 특발성 간질성 폐렴의 발생위험도와 연관관계를 갖는다는 보고도 있으며,⁸⁾ 폐암으로 방사선치료를 시행받은 환자에서 TGF- β 수치의 변화가 향후 방사선폐렴의 발생과 높은 연관관계를 갖고 있다는 보고도 있다.³⁾

Yi 등⁹⁾은 본 연구와 같은 방법으로 폐포 세척액에서 TGF- β 단백의 양을 측정하여 30 Gy 조사 후 21~42일 사이에 정점을 이루며 증가하고 TGF- β mRNA의 발현도 그와 연관되어 발현하는 것으로 보고하였는데, 본 연구에서도 20 Gy 조사 후 TGF- β 1 단백의 양이 28일주째에 정점을 이루며 56 일주 째까지 증가하였고, TGF- β mRNA의 발현도 20 Gy 군에서 28~56주일 째에 증가하여 이와 유사한 실험 결과를

보여 주었다. 또한 다른 연구에서도 폐에서의 TGF- β 의 발현이 2~8주 사이에 증가하는 것으로 보고되어 있어 본 연구의 결과와 일치하였다.^{3, 10)}

TGF- β 이외에도 여러 가지 분자생물학적인 인자들이 방사선에 의한 염증 및 섬유화반응에 관여하는데, 그 중 최근에 주목받고 있는 물질이 NO와 NOS2이다. NO는 매우 짧은 반감기를 갖는 inorganic free radical gas로서 혈관확장인자(vascular relaxing factor)로 작용한다. Palmer 등¹¹⁾이 혈관내피세포가 NO를 합성할 수 있음을 증명한 이후로 많은 다른 세포에서 NO의 존재 및 생물학적 연관성이 입증되었다. NO는 혈관계, 신경계, 및 면역체계에서 중요한 세포신호 전달 물질(cell signaling molecule)로서 작용하며 활성화된 대식세포 및 내피세포에 의해 고농도로 생성되는 cytostatic 또는 cytotoxic mediator로서의 역할을 한다. NO는 NOS에 의해 arginine을 기질(substrate)로 하여 합성된다. NOS는 조직 내에 기본적으로 존재하는 기본형(constitutional form : cNOS)과 어떤 외부적 자극에 의해 유도되는 유도형(inducible form : iNOS)의 두 가지 형태가 있다. cNOS는 혈관내피세포, 신경세포(중추신경

계 및 말초신경계)에 존재하며 iNOS는 내분비독소(endotoxin), 세포활성물질, 미생물 및 이의 생성물, 일부의 종양세포 등의 자극에 의해 다양한 세포들(hepatocyte, chondrocyte, adenocarcinoma cell, keratinocyte, respiratory epithelium, macrophage)에서 발현된다. NO의 생성은 L-arginine의 구조적 유사체(structural analogs)인 L-NMMA, L-NNA, L-NAME와 NO의 음성 간섭작용 등에 의해 억제된다.⁴⁾

일반적으로 많은 질병에서 iNOS가 활성화되면 NO의 생성이 증가하게 되고 그에 따라 여러 가지 질병이 유발되는 것으로 알려져 있으며, 방사선피럼에서도 NO가 염증반응의 중간 매개역할을 하는 것으로 보고되고 있다.^{4,5)} Nozaki 등⁵⁾은 폐포 세척액에서 NO가 방사선이 조사 된 폐에서 방사선이 조사되지 않은 폐와 비교하여 7일주부터 56일까지 유의하게 증가하고, NOS2 mRNA 발현도 방사선이 조사된 폐에서만 증가하는 것으로 보고하며 NOS2 억제제를 사용하여 방사선피럼을 감소시킬 수 있다고 보고하였다. 본 연구에서도 NO가 방사선이 조사된 폐에서 증가하고, NOS2 발현도 동반되어 NO 및 NOS2가 방사선피럼의 염증반응을 주도할 것이라는 점에서는 일치하는 결과를 얻었지만, 양쪽 폐에서 모두 NOS2가 발현되어 결과에는 차이가 있었다. 그 이유로는 본 연구에서도 5 Gy와 20 Gy 간에 발현의 차이가 있듯이 아마도 선량의 차이에 의한 것으로 생각된다. Nozaki 등⁵⁾은 40 Gy의 선량을 사용하였고, 선량이 많기 때문에 조직학적인 변화가 동반되었지만, 본 연구에서는 결과를 제시하지는 않았으나 5 Gy와 20 Gy의 방사선탐을 사용하여 조직학적인 소견에서는 특별한 변화가 발견되지 않았다. 그러나 폐포 내 단백질 및 세포의 성상은 방사선피럼과 일치하고 있어 임상적인 방사선피럼으로는 본 연구의 동물모델이 적합한 것으로 생각되며, 양쪽 폐에서 염증반응을 보이며 NOS2의 발현이 증가한 것은 방사선에 의한 폐의 반응이 방사선이 조사된 부위에만 국한되지 않음을 보여주는 결과로 방사선이 조사되지 않은 폐에서도 방사선에 의한 폐 손상이 발생하는 기전을 제시하는 것으로 생각된다.¹²⁾

TGF- β 는 NOS2의 대표적인 억제제로 알려져 있으며,¹³⁾ 최근에는 종양세포와 대식세포를 같이 배양하는 환경에서 NO가 TGF- β 의 활성화에 관여함으로써 TGF- β 의 활성을 증강시키고 그에 따라 NOS2가 억제되고 따라서 NO의 생성이 억제되는 음성간섭의 기전이 작용할 가능성이 제시되었다.⁶⁾ 방사선조사 후에는 TGF- β 의 활성이 증가하는 것으로 알려져 있음과 동시에 NOS2의 활성을 증가시켜 NO의 생성을 촉진시키는 것으로 알려져 있으므로 이러한 상호 작용기전은 방사선피럼에서도 적용될 수 있을 것으로 생각된다.

20 Gy의 방사선이 조사된 폐에서 보면 방사선 조사 후 14 일 경부터 방사선이 조사된 폐에서부터 NOS2 mRNA가 발현하여 양쪽 폐에서 발현되며 28일째에 NO의 양이 정점을 이루고 TGF- β 단백의 양은 28일부터 증가하여 56일 째에는 유의한 증가를 보인다. NOS2 mRNA는 28일 째에 발현정도가 감소하며 TGF- β 의 발현이 가장 증가하는 8주 째에는 NO의 양이 감소하여 NOS2-NO-TGF-beta의 상호 간섭 관계에 일치되는 결과를 방사선피럼의 동물모델에서 얻을 수 있었다. 그러나 이 때 이론상으로는 56일째에는 TGF- β 의 발현이 증가하므로 NOS2의 발현이 감소할 것으로 예상하였으나 오히려 같이 증가하는 양상을 보여 주었다.

또한 5 Gy군에서는 14일째에 NOS2가 발현되고, 28일째에는 TGF- β mRNA의 발현이 감소하면서 양쪽 폐에서 NOS2 mRNA가 발현되며 NO의 양이 양쪽 폐에서 증가하였다. 56 일 째에는 방사선이 조사된 폐에서는 NOS2와 TGF- β 발현이 감소되어 있고, NO와 TGF- β 의 양도 감소되어 있었다. 그러나 방사선이 조사되지 않은 좌측 폐에서는 NOS2와 TGF- β 의 발현이 증가하면서 TGF- β 의 분비량도 증가하는 양상을 보여주었다. 20 Gy군에서와 마찬가지로 TGF- β 의 발현이 증가하였고 NO의 양에 변화가 없으므로 NOS2 mRNA 발현이 감소하여야 하는데 역시 TGF- β 와 같이 동반하여 증가하였다. 이러한 현상이 관찰되는 이유를 알 수는 없으나, *in vivo*에서 NO, NOS2, TGF- β 가 일관된 발현양상을 보이는 것은 매우 고무적이며, 특히 4주까지는 서로 상호 간섭하는 양상을 보여주었다. 따라서 NOS2 억제제를 쓰면 NO가 감소하고, 그에 따라 TGF- β 의 발현 및 분비가 감소하여 방사선에 의한 폐렴 및 폐 섬유화를 감소시킬 수 있는 가능성이 있다고 판단된다. 따라서 향후 방사선조사 후의 NOS2 mRNA의 발현 및 NO의 양이 TGF- β mRNA의 발현에 미치는 영향에 대한 연구가 좀 더 많은 개체수를 대상으로 좀더 오랜 기간동안 이루어져야 하겠으며, 동시에 NOS2 억제제가 TGF- β 의 발현 및 분비를 억제할 수 있는가에 대한 연구가 필요할 것으로 평가된다.

참 고 문 헌

- Border WA and Noble NA. Transforming growth factor beta in tissue fibrosis. *N Engl J Med* 1994;331:1286-1292
- Franklin TJ. Therapeutic approaches to organ fibrosis. *Int J Biochem Cell Biol* 1997;29:79-89
- Rubin P, Johnston CJ, Williams JP, et al. A perpetual cascade of cytokines postirradiation leads to pulmonary fibrosis. *Int J Radiat Oncol Biol Phys* 1995;33:99-109
- Wink DA and Mitchell JB. Chemical biology of nitric oxide: insight into regulatory, cytotoxic, and cytoprotective mecha-

- nisms of nitric oxide. Free Radic Biol Med 1998;25:434-456
5. Nozaki Y, Hasegawa Y, Takeuchi A, et al. Nitric oxide as an inflammatory mediator of radiation pneumonitis in rats. Am J Physiol 1997;272:651-658
 6. Vodovotz Y, Chesler L, Chong H, et al. Regulation of Transforming Growth Factor β 1 by nitric oxide. Cancer Res 1999;59:2142-2149
 7. Ding A, Nathan CF, Graycar J, Derynck R, Stuehr DJ, Srimal S. Macrophage deactivating factor and transforming growth factors-beta 1 -beta 2 and -beta 3 inhibit induction of macrophage nitrogen oxide synthase by IFN-gamma. J Immunol 1990;145:940-944
 8. Anscher MS, Crocker IR, Jirtle RL. Transforming growth factor-beta1 expression in irradiated liver. Radiat Res 1990; 122:77-85
 9. Yi ES, Bedoya A, Lee H. Radiation induced lung injury in vivo: expression of transforming growth factor-beta precedes fibrosis. Inflammation 1996;20:339-352
 10. Rube CE, Uthe D, Schmid KW. Dose-dependent induction of transforming growth factor β (TGF- β) in the lung tissue of fibrosis-prone mice after thoracic irradiation. Int J Radiat Oncol Biol Phys 2000;47:1033-1042
 11. Palmer BMJ, Ferrige AG, Moncada S. Nitric oxide release accounts for the biological activity of endothelium-derived relaxing factor. Nature 1987;327:524-526
 12. Prakash UBS. Radiation-induced injury in the "nonirradiated" lung. Eur Respir J 1999;13:715-717
 13. Vodovotz Y, Bogdan C, Paik J, et al. Mechanism of suppression of macrophage nitric oxide release by Transforming Growth Factor β . J Exp Med 1993;178:605-613

Abstract

Radiation Effect on NO, NOS and TGF- β Expressions In Rat Lung

Young-Taek Oh, M.D.* , Kwang-Joo Park, M.D.† , Hoon-Jong Kil, M.D.* ,
Mahn Joon Ha, Ph.D.‡ , Mison Chun, M.D.* , Seung-Hee Kang, M.D.* ,
Seong-Eun Park, M.D.† and Sei-Kyung Chang, M.D.§

*Department of Radiation Oncology, †Department of Pulmonary Medicine,

‡Institute for Medical Sciences, School of Medicine, Ajou University, Suwon, Korea

§Department of Radiation Oncology, Eulji Medical College, Daejon, Korea

Purpose : NOS2 induce NO production and NO activate TGF- β . The TGF- β is a inhibitor of NOS2. If this negative feedback mechanism operating in radiation pneumonitis model, NOS2 inhibitor may play a role in TGF- β suppression. We planned this study to evaluate the expression patterns of NO, NOS2 and TGF- β in vivo radiation pneumonitis model.

Materials and Methods : Sixty sprague-Dawley rat were irradiated 5 Gy or 20 Gy. They were sacrificed 3, 7, 14, 28 and 56 days after irradiation. During sacrifice, we performed broncho-alveolar lavage (BAL). The BAL fluids were centrifuged and supernatants were used for measure NO and TGF- β , and the cells were used for RT-PCR.

Results : After 5 Gy of radiation, NO in BAL fluid increased at 28 days in both lung and TGF- β in left lung at 56 days. NO increased in BAL fluid at 28 days in both lung after irradiation and TGF- β in right lung at 28-56 days after 20 Gy of radiation. After 5 Gy of radiation, NOS2 expression was increased in right lung at 14 days, in both lung at 28 days and in left lung at 56 days. TGF- β expression was reduced in both lung at 28 days and increased in left lung at 56 days.

Conclusions : The proposed feedback mechanism of NO, NOS2 and TGF- β was operated in vivo radiation pneumonitis model. At 56 days, however, NOS2 and TGF- β expressed concurrently in left lung after 5 Gy and in both lung after 20 Gy of radiation

Key Words : Radiation pneumonitis, NO, NOS2, TGF- β , Radiation